
Matematika pro real-time grafiku

© 2005-2010 Josef Pelikán, MFF UK Praha
<http://cgg.mff.cuni.cz/~pepca/>
pepca@cgg.mff.cuni.cz

Obsah

- ◆ homogenní souřadnice, maticové transformace
 - ◆ převod mezi souřadnými soustavami
- ◆ souřadné soustavy, projekční transformace, frustum
- ◆ perspektivně korektní interpolace
- ◆ reprezentace orientace
 - ◆ Eulerovy úhly, kvaterniony
 - ◆ interpolace orientací
- ◆ hladké aproximace a interpolace
 - ◆ spline funkce, přirozený spline, B-spline, Catmull-Rom, ...
- ◆ výpočet světelných modelů a mlhy

Geometrické transformace v 3D

- vektor 3D souřadnic $[x, y, z]$
- transformace násobením maticí 3×3
 - ◆ řádkový vektor se násobí zprava (DirectX)

$$[x, y, z] \cdot \begin{bmatrix} a_{11} & a_{12} & a_{13} \\ a_{21} & a_{22} & a_{23} \\ a_{31} & a_{32} & a_{33} \end{bmatrix} = [x', y', z']$$

- ◆ sloupcový vektor se násobí zleva (OpenGL)
- transformační matice 3×3 mají podstatné omezení – **nelze** je použít pro **posunutí** (translaci)

Homogenní souřadnice

- vektor **homogenních souřadnic** $[x, y, z, w]$
- transformace násobením maticí 4×4

$$[x, y, z, w] \cdot \begin{bmatrix} a_{11} & a_{12} & a_{13} & a_{14} \\ a_{21} & a_{22} & a_{23} & a_{24} \\ a_{31} & a_{32} & a_{33} & a_{34} \\ a_{41} & a_{42} & a_{43} & a_{44} \end{bmatrix} = [x', y', z', w']$$

- homogenní maticí lze i **posunovat** (translace) a provádět **perspektivní projekci**

Převod homogenních souřadnic

- homogenní souřadnice $[x, y, z, w]$ se převádějí na běžné kartézské souřadnice vydělením (je-li $w \neq 0$)
 $[x/w, y/w, z/w]$
- souřadnice $[x, y, z, 0]$ neodpovídají žádnému vlastnímu bodu v prostoru
 - lze je chápat jako reprezentaci **směrového vektoru** (bod v nekonečnu)
- převod z obyčejných souřadnic do homogenních je jednoduchý: $[x, y, z] \dots [x, y, z, 1]$

Elementární transformace

Nejběžnější jsou afinní transformace:

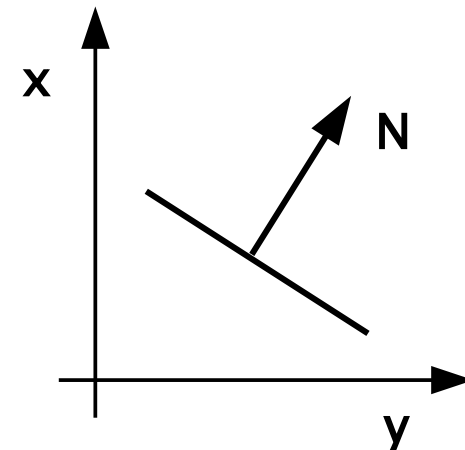
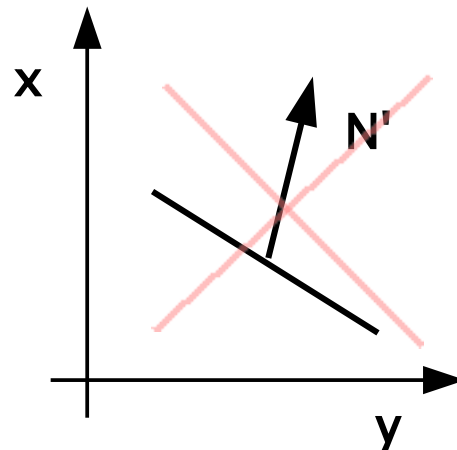
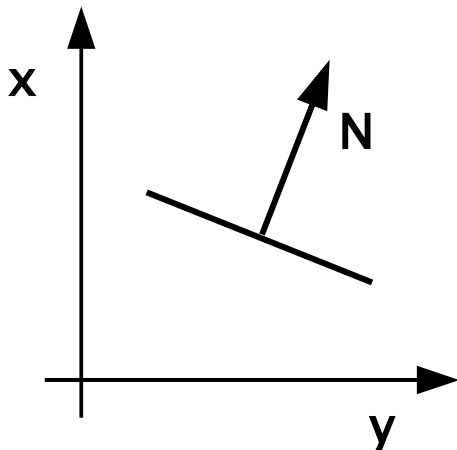
$$\begin{bmatrix} a_{11} & a_{12} & a_{13} & 0 \\ a_{21} & a_{22} & a_{23} & 0 \\ a_{31} & a_{32} & a_{33} & 0 \\ t_1 & t_2 & t_3 & 1 \end{bmatrix}$$

- levá horní podmatice $[\mathbf{a}_{11} \text{ až } \mathbf{a}_{33}]$ vyjadřuje rozměr a orientaci, případně zkosení
- vektor $[\mathbf{t}_1, \mathbf{t}_2, \mathbf{t}_3]$ udává posunutí (translaci)
 - posunutí je až poslední operace

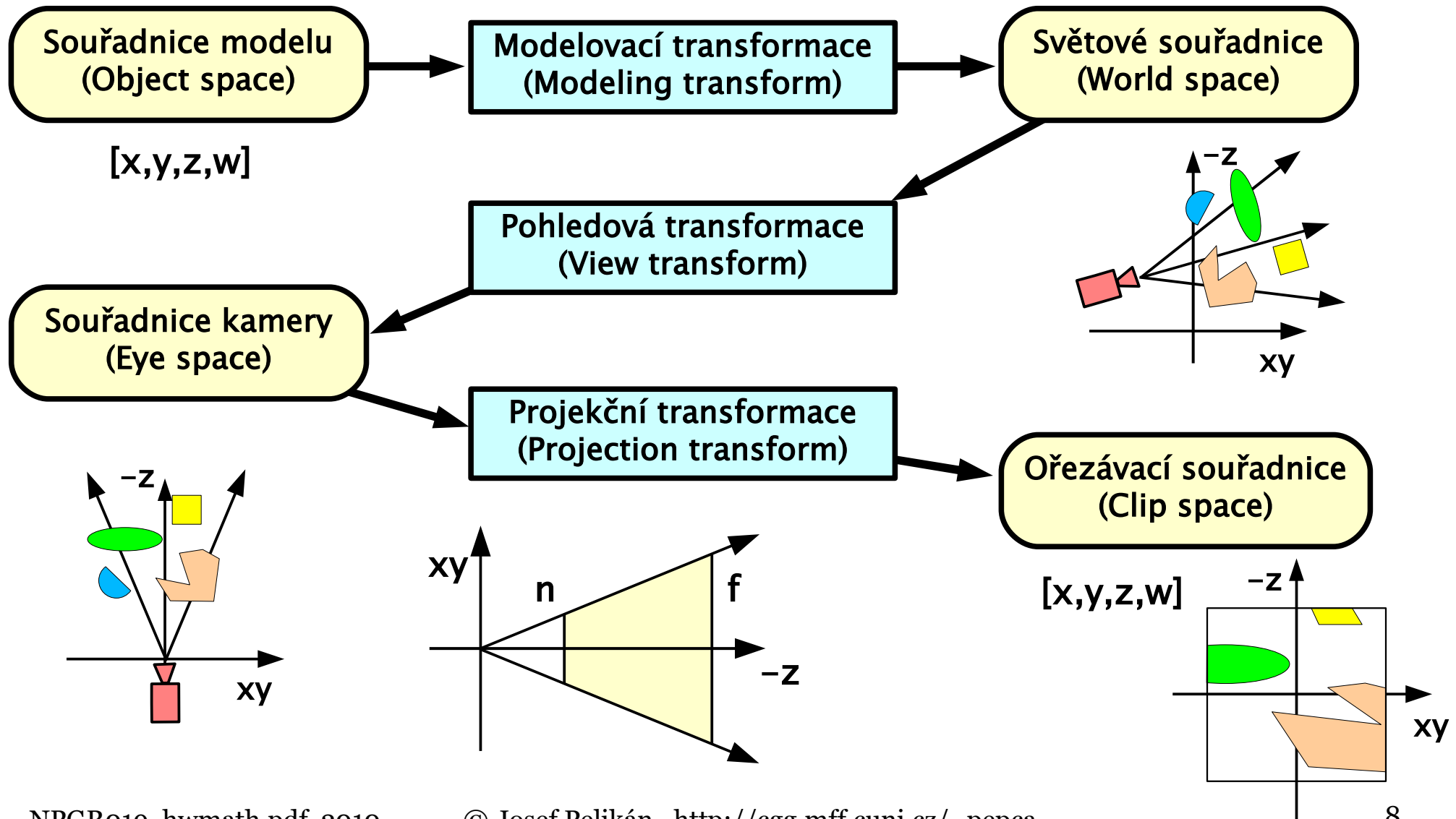
Transformace normál

- normálové vektory se nesmí transformovat běžnými transformačními maticemi
 - výjimka: matice M je rotační (ortonormální)
- matice pro **transformaci normál N** :

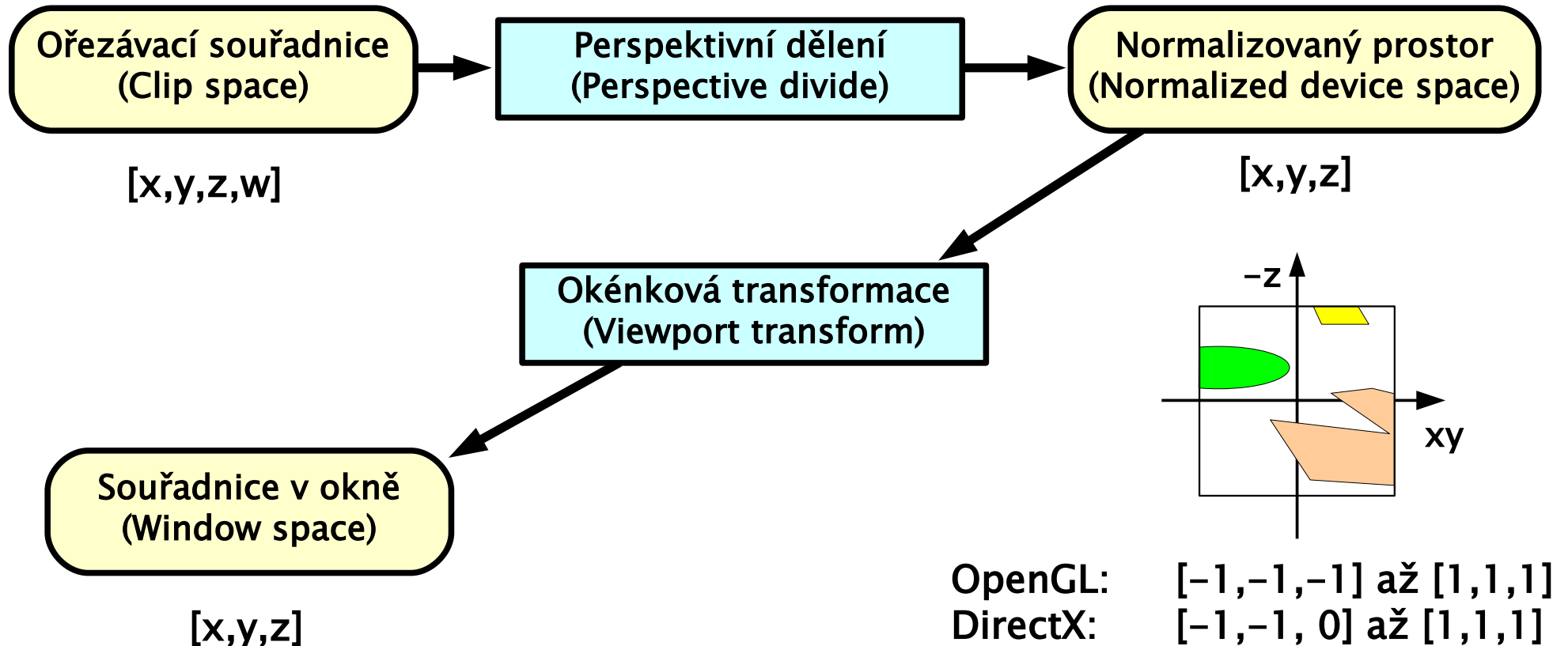
$$N = (M^{-1})^T$$



Souřadné soustavy



Souřadné soustavy



$[x,y]$ skutečná velikost v pixelech na obrazovce (fragmenty)
 z hloubka kompatibilní s z-bufferem

Souřadné soustavy

◆ souřadnice modelu

- ◆ databáze objektů, ze kterých se skládá scéna
- ◆ 3D modelovací programy (3DS, Maya, ..)

◆ světové souřadnice

- ◆ absolutní souřadnice virtuálního 3D světa
- ◆ vzájemná poloha jednotlivých instancí objektů

◆ souřadnice kamery

- ◆ 3D svět se transformuje do relativních souřadnic kamery
- ◆ střed projekce: **počátek**, směr pohledu: **-z** (nebo **z**)

Souřadné soustavy a transformace

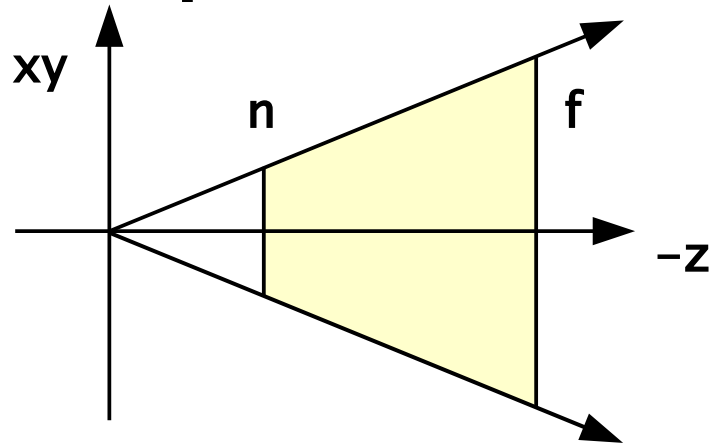
- ◆ **transformace model → kamera**
 - ◆ společná transformační matice “modelview”
 - ◆ světové souřadnice nejsou moc důležité
- ◆ **projekční transformace**
 - ◆ definuje zorný objem = **frustum** [**l**, **r**, **b**, **t**, **n**, **f**]
 - ◆ přední a zadní ořezávací vzdálenost: **n**, **f**
 - ◆ výsledkem je homogenní souřadnice (před ořezáním):
- ◆ **ořezávací souřadnice** (“clip space”)
 - ◆ **výstupní souřadnice** vertex shaderu !

Projekční transformace

- vzdálený bod f lze posunout do nekonečna

$$\begin{bmatrix} \frac{2n}{r-l} & 0 & 0 & 0 \\ 0 & \frac{2n}{t-b} & 0 & 0 \\ -\frac{r+l}{r-l} & -\frac{t+b}{t-b} & \frac{f+n}{f-n} & 1 \\ 0 & 0 & -\frac{2fn}{f-n} & 0 \end{bmatrix}$$

$$\begin{bmatrix} \frac{2n}{r-l} & 0 & 0 & 0 \\ 0 & \frac{2n}{t-b} & 0 & 0 \\ -\frac{r+l}{r-l} & -\frac{t+b}{t-b} & 1 & 1 \\ 0 & 0 & -2n & 0 \end{bmatrix}$$



Souřadné soustavy a transformace

➤ **perspektivní dělení**

- ◆ pouze převádí homogenní souřadnice do kartézských

➤ **normalizované souřadnice zařízení (“NDC”)**

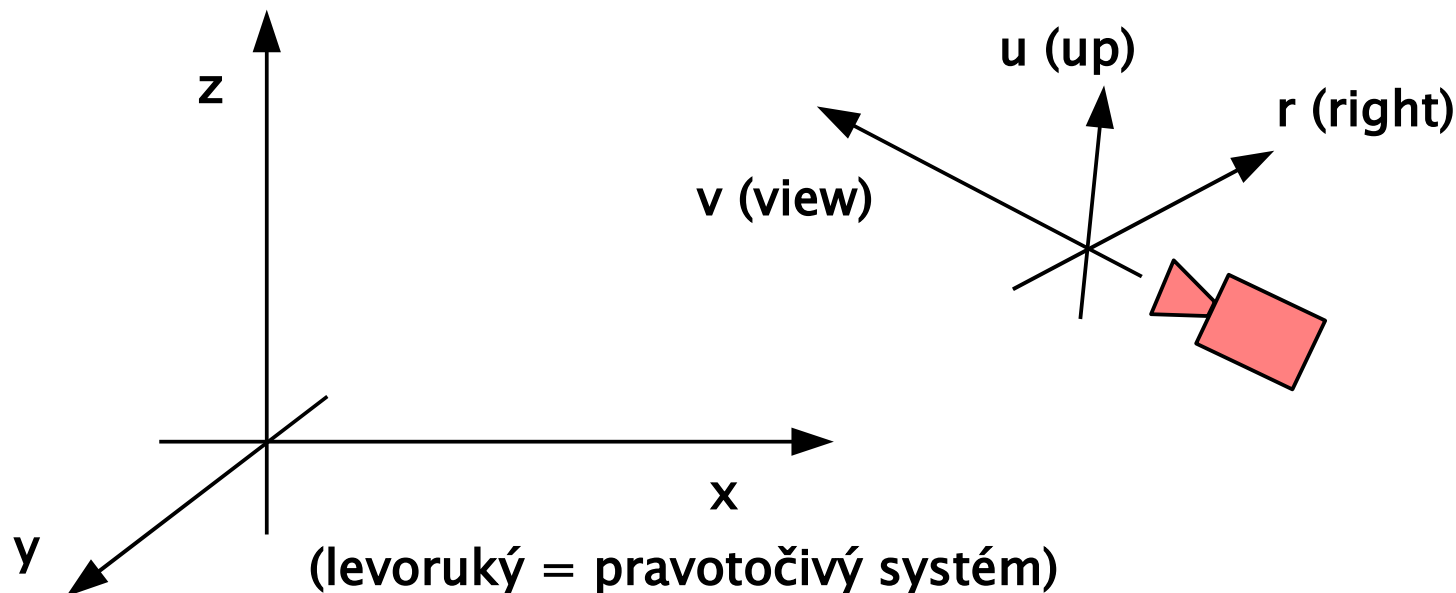
- ◆ kvádr standardní velikosti
- ◆ OpenGL: $[-1,-1,-1]$ až $[1,1,1]$
- ◆ DirectX: $[-1,-1,0]$ až $[1,1,1]$

➤ **souřadnice v okně (“window space”)**

- ◆ výsledkem okénkové transf. a transformace hloubky
- ◆ používají se při **rasterizaci** a práci s **fragmenty**

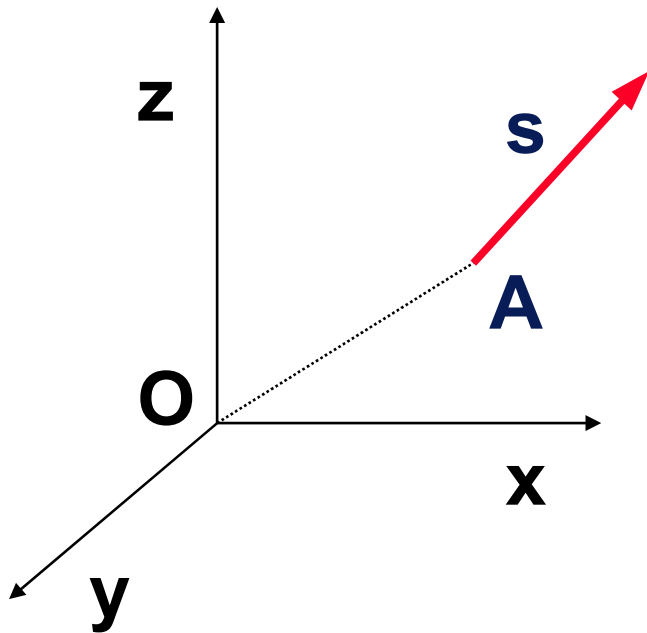
Transformace tuhého tělesa

- zachovává **tvar těles**, mění pouze jejich **orientaci**
 - skládá se jenom z posunutí a otáčení
 - často se používá k **převodu mezi souřadnicovými systémy** (např. mezi „světovými“ souřadnicemi a systémem spojeným s pozorovatelem)



Přenesení polopřímky do osy z

- konstrukce matice postupně v několika krocích:



Polopřímka je zadána bodem **A** a směrovým vektorem **S**

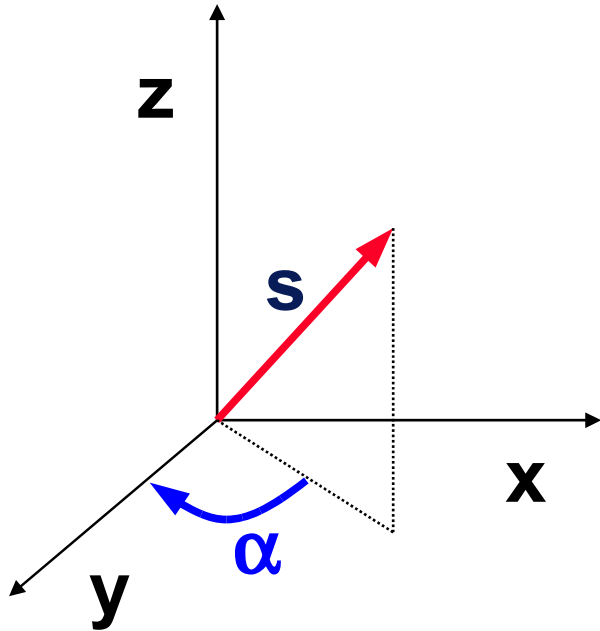
$$M = T(-A)$$

$$M^{-1} = T(A)$$

1. krok:

přenesení bodu **A** do počátku

Přenesení polopřímky do osy z



$$\sin \alpha = \frac{s_x}{\sqrt{s_x^2 + s_y^2}}$$

$$\cos \alpha = \frac{s_y}{\sqrt{s_x^2 + s_y^2}}$$

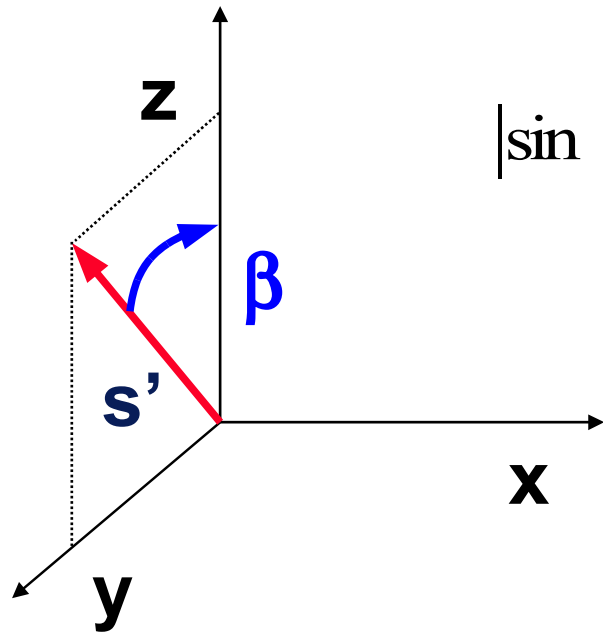
$$\mathbf{M} = \mathbf{T}(-A) \cdot \mathbf{R}_z(\alpha)$$

$$\mathbf{M}^{-1} = \mathbf{R}_z(-\alpha) \cdot \mathbf{T}(A)$$

2. krok:

otočení polopřímky do roviny **yz** (okolo osy **z**)

Přenesení polopřímky do osy z



$$|\sin \beta| = \frac{\sqrt{s_x^2 + s_y^2}}{\sqrt{s_x^2 + s_y^2 + s_z^2}}$$

$$\cos \beta = \frac{s_z}{\sqrt{s_x^2 + s_y^2 + s_z^2}}$$

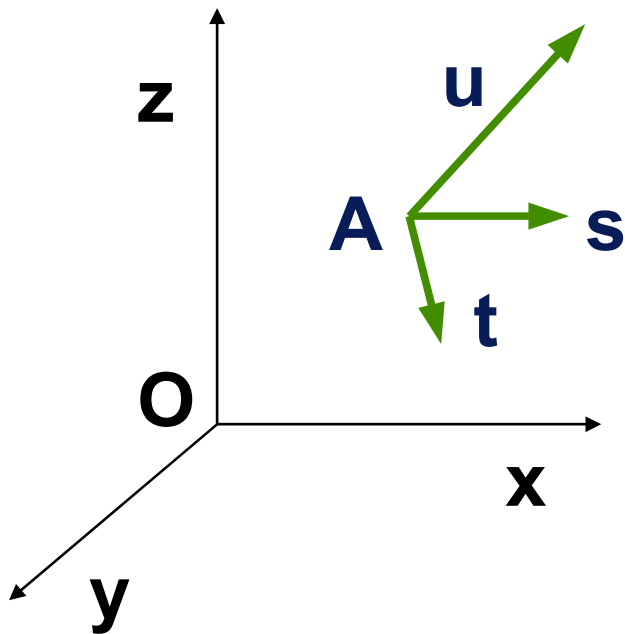
$$\mathbf{M} = \mathbf{T}(-A) \cdot \mathbf{R}_z(\alpha) \cdot \mathbf{R}_x(\beta)$$

$$\mathbf{M}^{-1} = \mathbf{R}_x(-\beta) \cdot \mathbf{R}_z(-\alpha) \cdot \mathbf{T}(A)$$

3. krok:

otočení polopřímky do osy **z** (okolo osy **x**)

Převod mezi souřadnými soustavami



Souřadný systém je zadán svým počátkem **A** a trojicí vektorů **s**, **t**, **u**

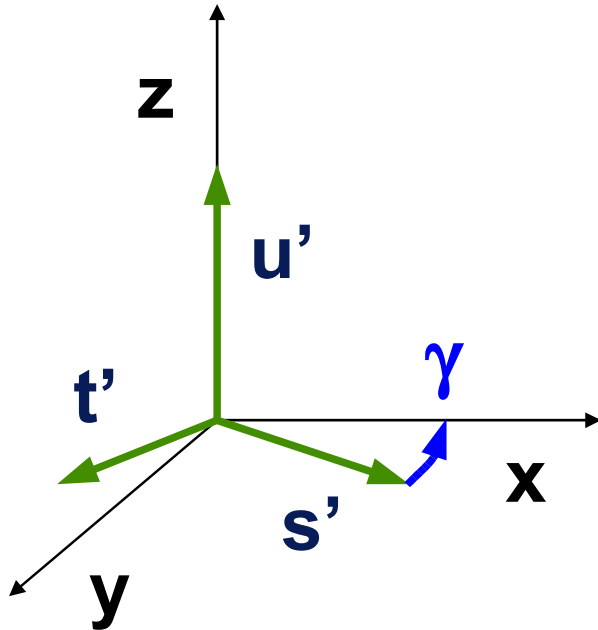
$$C_s = M(A, u)$$

$$C_s^{-1} = M(A, u)^{-1}$$

1. krok:

přenesení polopřímky (A, u) do osy **z**

Převod mezi souřadnými soustavami



$$\sin \gamma = \frac{[s \cdot M(a, u)]_y}{|s \cdot M(a, u)|}$$

apod.

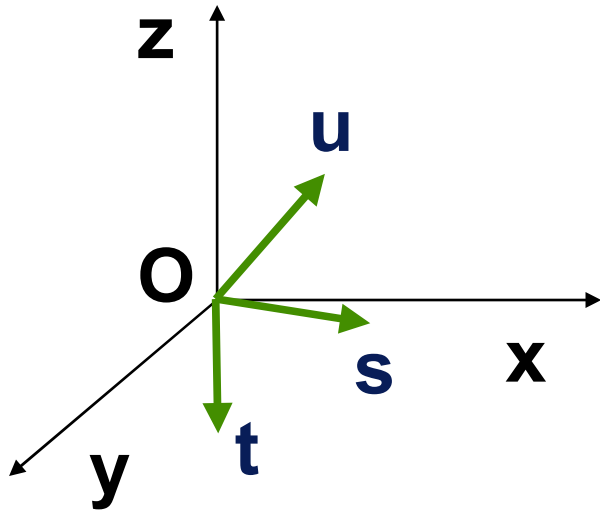
$$Cs = M(A, u) \cdot R_z(\gamma)$$

$$Cs^{-1} = R_z(-\gamma) \cdot M(A, u)^{-1}$$

2. krok:

ztotožnění os $s' \rightarrow x$ a $t' \rightarrow y$ (otočením kolem $z=u'$)

Převod mezi dvěma orientacemi II



Souřadný systém má počátek v **O**
a je zadán trojicí jednotkových
vektorů **[s, t, u]**

$$\begin{bmatrix} 1 & 0 & 0 \end{bmatrix} \cdot M_{stu \rightarrow xyz} = s$$

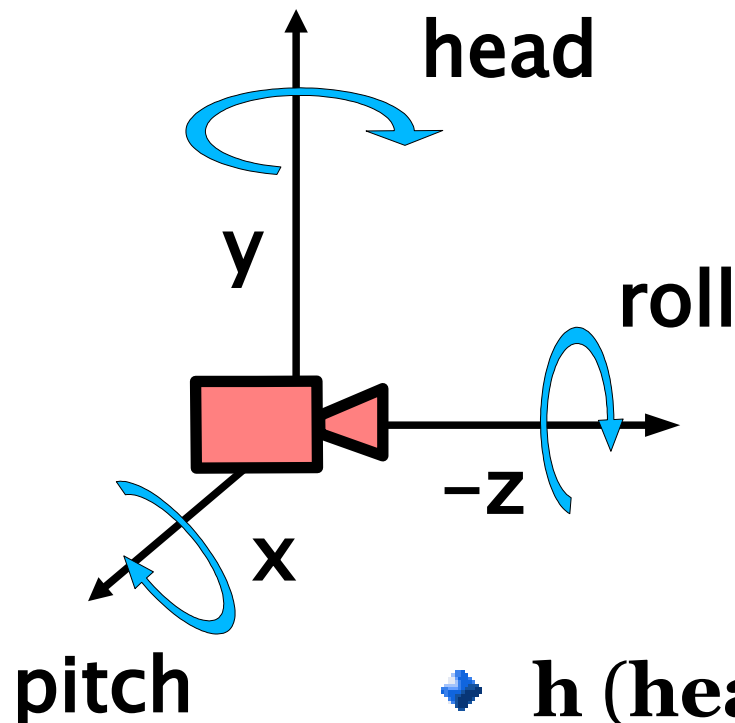
$$\begin{bmatrix} 0 & 1 & 0 \end{bmatrix} \cdot M_{stu \rightarrow xyz} = t$$

$$\begin{bmatrix} 0 & 0 & 1 \end{bmatrix} \cdot M_{stu \rightarrow xyz} = u$$

$$M_{stu \rightarrow xyz} = \begin{bmatrix} s_x & s_y & s_z \\ t_x & t_y & t_z \\ u_x & u_y & u_z \end{bmatrix}$$

$$M_{xyz \rightarrow stu} = M_{stu \rightarrow xyz}^T$$

Eulerova transformace



◆ rozklad obecné rotace na **tři složky**

◆ Leonard Euler (1707-1783)

$$E(h,p,r) = R_y(h) \cdot R_x(p) \cdot R_z(r)$$

- ◆ **h (head, yaw)**: otočení hlavy v půdorysu
- ◆ **p (pitch)**: zvednutí/sklonění hlavy
- ◆ **r (roll)**: otočení kolem osy pohledu

Eulerova transformace II

- ♦ výsledná matice rotace:

$$E = \begin{pmatrix} c(r)c(h) - s(r)s(p)s(h) & s(r)c(h) + c(r)s(p)s(h) & -c(p)s(h) \\ -s(r)c(p) & c(r)c(p) & s(p) \\ c(r)s(h) + s(r)s(p)c(h) & s(r)s(h) - c(r)s(p)c(h) & c(p)c(h) \end{pmatrix}$$

- ♦ $s(x) \dots \sin(x)$, $c(x) \dots \cos(x)$

- ♦ možnost zpětného výpočtu úhlů h , p , r :

- ♦ $p \dots e_{23}$

- ♦ $r \dots e_{21}/e_{22}$

- ♦ $h \dots e_{13}/e_{33}$

Rotace – jiné konvence

◆ hlavní konvence:

- ◆ 1. rotace kolem \mathbf{z} o úhel φ
- ◆ 2. rotace kolem \mathbf{x}' o úhel θ
- ◆ 3. rotace kolem \mathbf{z}'' o úhel ψ

◆ x-konvence:

- ◆ 1. rotace kolem osy \mathbf{z}
- ◆ 2. rotace kolem původní osy \mathbf{x}
- ◆ 3. rotace kolem původní osy \mathbf{z}

◆ další systémy: aeronautika, gyroskopy, fyzika, ..

Kvaterniony

- ◆ Sir William Rowan **Hamilton**, 1843
 - ◆ $i^2 = j^2 = k^2 = ijk = -1$
 - ◆ aplikace v grafice až v 1985 (Shoemake)
 - ◆ **zobecnění komplexních čísel do 4D prostoru**
- ◆ $\mathbf{q} = (\mathbf{v}, w) = i x + j y + k z + w = \mathbf{v} + w$
- ◆ **imaginární část** $\mathbf{v} = (x, y, z) = i x + j y + k z$
- ◆ $i^2 = j^2 = k^2 = -1, \quad jk = -kj = i, \quad ki = -ik = j, \quad ij = -ji = k$

Kvaterniony – operace

◆ sčítání

$$◆ (\mathbf{v}_1, w_1) + (\mathbf{v}_2, w_2) = (\mathbf{v}_1 + \mathbf{v}_2, w_1 + w_2)$$

◆ násobení

$$◆ \mathbf{q} \mathbf{r} = (\mathbf{v}_q \times \mathbf{v}_r + w_r \mathbf{v}_q + w_q \mathbf{v}_r, w_q w_r - \mathbf{v}_q \cdot \mathbf{v}_r)$$

$$i(q_y r_z - q_z r_y + r_w q_x + q_w r_x),$$

$$j(q_z r_x - q_x r_z + r_w q_y + q_w r_y),$$

$$k(q_x r_y - q_y r_x + r_w q_z + q_w r_z),$$

$$q_w r_w - q_x r_x - q_y r_y - q_z r_z$$

Kvaterniony – operace II

◆ konjugace

- ◆ $(\mathbf{v}, w)^* = (-\mathbf{v}, w)$

◆ norma (čtverec absolutní hodnoty)

- ◆ $\|\mathbf{q}\|^2 = n(\mathbf{q}) = \mathbf{q} \mathbf{q}^* = x^2 + y^2 + z^2 + w^2$

◆ jednotka

- ◆ $\mathbf{i} = (\mathbf{0}, 1)$

◆ převrácená hodnota

- ◆ $\mathbf{q}^{-1} = \mathbf{q}^* / n(\mathbf{q})$

◆ násobení skalárem

- ◆ $s \mathbf{q} = (\mathbf{0}, s) (\mathbf{v}, w) = (s \mathbf{v}, s w)$

Jednotkové kvaterniony

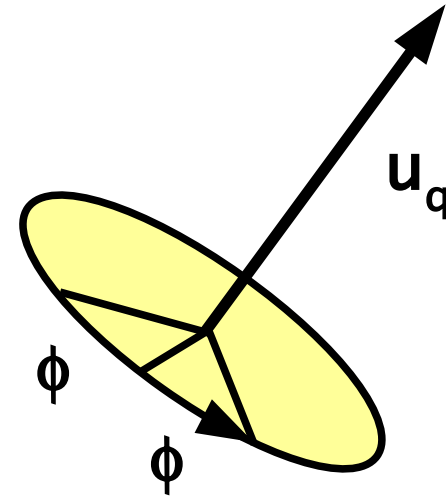
- ◆ **jednotkový kvaternion** lze vyjádřit goniometricky
 - ◆ $\mathbf{q} = (\mathbf{u}_q \sin \phi, \cos \phi)$
 - ◆ pro nějaký **jednotkový 3D vektor** \mathbf{u}_q
- ◆ reprezentace **rotace (orientace)** v 3D
 - ◆ nejednoznačnost: \mathbf{q} i $-\mathbf{q}$ reprezentují stejnou rotaci!
 - ◆ identita (nulové otočení): $(\mathbf{0}, 1)$
- ◆ mocnina, exponenciála, logaritmus:
 - ◆ $\mathbf{q} = \mathbf{u}_q \sin \phi + \cos \phi = \exp(\phi \mathbf{u}_q)$, $\log \mathbf{q} = \phi \mathbf{u}_q$
 - ◆ $\mathbf{q}^t = (\mathbf{u}_q \sin \phi + \cos \phi)^t = \exp(t\phi \mathbf{u}_q) = \mathbf{u}_q \sin t\phi + \cos t\phi$

Rotace pomocí kvaternionu

♦ jednotkový kvaternion

♦ $\mathbf{q} = (\mathbf{u}_q \sin \phi, \cos \phi)$

♦ \mathbf{u}_q ... osa rotace, ϕ ... úhel



♦ bod nebo vektor v 3D: $\mathbf{p} = [p_x, p_y, p_z, p_w]$

♦ **rotace** bodu (vektoru) \mathbf{p} kolem osy \mathbf{u}_q o úhel 2ϕ :

♦ $\mathbf{p}' = \mathbf{q} \mathbf{p} \mathbf{q}^{-1} = \mathbf{q} \mathbf{p} \mathbf{q}^*$

Převod mezi kvaternionem a maticí

- ◆ kvaternion \mathbf{q} po převedení na matici:

$$M = \begin{pmatrix} 1 - 2(y^2 + z^2) & 2(xy + wz) & 2(xz - wy) \\ 2(xy - wz) & 1 - 2(x^2 + z^2) & 2(yz + wx) \\ 2(xz + wy) & 2(yz - wx) & 1 - 2(x^2 + y^2) \end{pmatrix}$$

- ◆ převod matice na kvaternion – základem jsou rovnice (\$):

$$m_{23} - m_{32} = 4wx$$

$$m_{31} - m_{13} = 4wy$$

$$m_{12} - m_{21} = 4wz$$

$$\text{tr } M + 1 = 4w^2$$

Převod matice na kvaternion II

1. pokud je “stopa matice+1” v absolutní hodnotě **velká**:

$$w = \frac{1}{2} \sqrt{\operatorname{tr} M + 1} \quad x = \frac{m_{23} - m_{32}}{4w}$$
$$y = \frac{m_{31} - m_{13}}{4w} \quad z = \frac{m_{12} - m_{21}}{4w}$$

2. v opačném případě se nejprve spočítá složka s maximální absolutní hodnotou, pak se použije \$:

$$4x^2 = 1 + m_{11} - m_{22} - m_{33}$$

$$4y^2 = 1 - m_{11} + m_{22} - m_{33}$$

$$4z^2 = 1 - m_{11} - m_{22} + m_{33}$$

Sférická lineární interpolace (slerp)

- ♦ dva kvaterniony \mathbf{q} a \mathbf{r} ($\mathbf{q} \cdot \mathbf{r} \geq 0$, jinak $-\mathbf{q}$)
- ♦ reálný parametr $0 \leq t \leq 1$

interpolovaný kvaternion $\text{slerp}(\mathbf{q}, \mathbf{r}, t) = \mathbf{q} (\mathbf{q}^* \mathbf{r})^t$

- ♦ jiné vyjádření:

$$\text{slerp}(q, r, t) = \frac{\sin(\phi(1-t))}{\sin\phi} \cdot q + \frac{\sin(\phi t)}{\sin\phi} \cdot r$$

$$\cos\phi = q_x r_x + q_y r_y + q_z r_z + q_w r_w$$

Nejkratší sférický oblouk mezi orientacemi \mathbf{q} a \mathbf{r}

Otočení mezi dvěma vektory

♦ dva směrové vektory \mathbf{s} a \mathbf{t} :

1. normalizace vektorů \mathbf{s} , \mathbf{t}

2. jednotková rotační osa $\mathbf{u} = (\mathbf{s} \times \mathbf{t}) / \|\mathbf{s} \times \mathbf{t}\|$

3. vyjádření úhlu mezi \mathbf{s} a \mathbf{t} : $\mathbf{e} = \mathbf{s} \cdot \mathbf{t} = \cos 2\phi$

$$\|\mathbf{s} \times \mathbf{t}\| = \sin 2\phi$$

4. výsledný kvaternion: $\mathbf{q} = (\mathbf{u} \cdot \sin \phi, \cos \phi)$

$$q = (q_v, q_w) = \left(\frac{1}{\sqrt{2(1+e)}} (\mathbf{s} \times \mathbf{t}), \frac{\sqrt{2(1+e)}}{2} \right)$$

Slerp rotačních matic

- ♦ dvě rotační matice \mathbf{Q} a \mathbf{R}
- ♦ reálný parametr $0 \leq t \leq 1$

interpolovaná matice $\text{slerp}(\mathbf{Q}, \mathbf{R}, t) = \mathbf{Q} (\mathbf{Q}^T \mathbf{R})^t$

- ♦ **technický problém:** obecná mocnina rotač. matice
- ♦ nutnost výpočtu osy a úhlu otočení $\mathbf{Q}^T \mathbf{R}$
 - ♦ výpočetně málo efektivní

(podrobnosti viz “RotationIssues.pdf”)

Vyjádření rotace – shrnutí

◆ rotační matice

- + HW podpora, efektivní transformace vektoru
- paměť (float[9]), neefektivní ostatní operace

◆ osa a úhel otočení

- + paměť (float[4] nebo float[6]), podobná kvaternionu
- neefektivní kompozice, interpolace

◆ kvaternion

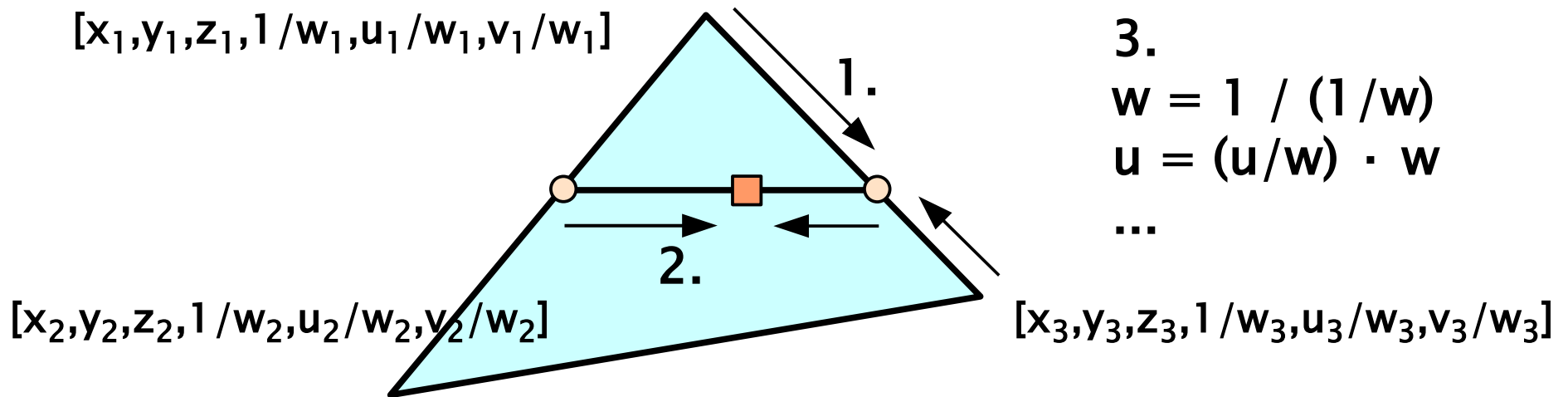
- + paměť (float[4]), kompozice, interpolace
- neefektivní transformace vektoru

(podrobnosti viz “RotationIssues.pdf”)

Interpolace na obrazovce

- ◆ týká se souřadnic od **ořezávacích** (včetně)
 - ◆ clip space: $[x, y, z, w]$
 - ◆ NDS: $[x/w, y/w, z/w, w]$ (“w” někdy zůstává)
 - ◆ window space (fragment): $[x_i, y_i, z_i, w]$
- ◆ **projekční perspektivní transformace** mapuje hloubku **z** do NDS **nelineárně!**
 - **nerovnoměrné využití přesnosti** z-bufferu (méně přesné vzdálené partie: minimalizace poměru **f/n** !)
 - + **interpolaci hloubky z** lze dělat na obrazovce **lineárně**
- ◆ **W-buffer** místo z-bufferu (dnes se moc nepoužívá)

Perspektivně korektní interpolace



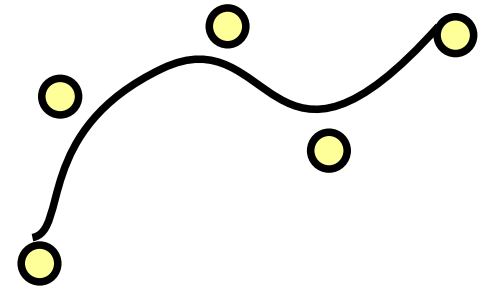
Snahou je používat co nejvíce **lineární interpolaci**

- ♦ **hloubku „z”** lze interpolovat lineárně
- ♦ pro **texturové souřadnice** nebo „w” se musí implementovat perspektivně-korektní interpolace:
- ♦ **lineárně** interpolují „1/w”, „u/w” i „v/w”, [u, v] pak dopočítám dělením (**hyperbolická interpolace**)

Aproximace a interpolace

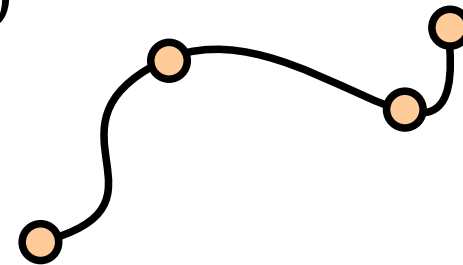
- ◆ **aproximace** (např. B-spline)

- ◆ křivka neprochází přesně řídicími body



- ◆ **interpolace** (např. Catmull-Rom)

- ◆ křivka prochází řídicími body



- ◆ **spojitost křivky**

- ◆ G^n – geometrická spojitost n-tého řádu (G^0 – prostá spojitost, G^1 – tečna, G^2 – křivost)
- ◆ C^n – analytická spojitost n-tého řádu, spoj. n-té derivace (C^1 – rychlost, C^2 – zrychlení), silnější než geometrická

Historie

♦ křivky pro modelování

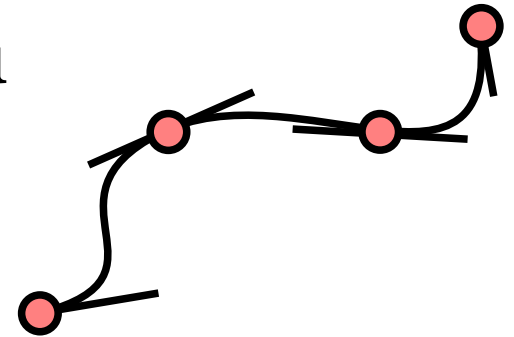
- ♦ Paul de Faget **de Casteljau** u firmy Citroën (1959)
- ♦ Pierre **Bèzier** (u firmy Renault 1933-1975, UNISURF)
 - začal později, ale jeho výsledky se lépe prosadily
- ♦ aplikace spline funkcí – zejména v USA (James **Ferguson**, 1964, Boeing, C^2 spline křivky)

♦ teorie spline funkcí

- ♦ B-spline: Isaac Jacob **Schoenberg**, (balistika, Aberdeen, MD, 1946)
- ♦ rozvoj teorie: Carl **de Boor** (zkuš. z General Motors)
- ♦ Gordon, Riesenfeld sjednotili Bèzierovy a B-spline křivky (1972)

„Free-form“ křivky

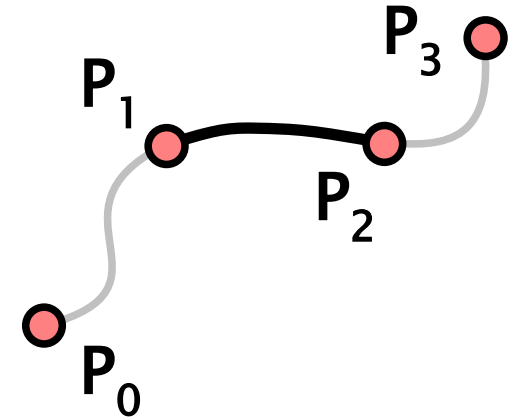
- ◆ definují se posloupností **řídících bodů**
 - ◆ řídicí polygon
 - ◆ aproximace nebo interpolace
 - ◆ jiné podmínky na okrajích
- ◆ **kontrolovatelnost**
 - ◆ v uzlech se někdy přidávají i tečné vektory (Hermit)
 - ◆ interpolace \Rightarrow přísnější kontrola
- ◆ **lokalita**
 - ◆ změnou jednoho řídicího bodu (jednoho tečného vektoru) se změní jen omezené okolí křivky



„Free-form“ křivky

- parametrické vyjádření ($0 \leq t \leq 1$):

$$P(t) = \sum_{i=0}^{N-1} w_i(t) P_i$$



- vlastnost **konvexního obalu**

- křivka leží v konvexním obalu svého řídicího polygonu

- Cauchyova podmínka** pro váhové funkce

- postačující pro konvexní obal

- zajišťuje invarianci na afinní transformace

$$\sum_{i=0}^{N-1} w_i(t) = 1$$

Spline funkce

Pojmenování podle pružného pravítka používaného v loďářském designu (podepřeného v několika bodech)

◆ definice – **spline funkce stupně n** :

◆ po částech polynom (stupně n)

◆ napojení s maximální možnou hladkostí:

C^{n-1} – spojitost **($n-1$)**. derivace (pro polynomy stupně n)

◆ globální parametrizace \mathbf{u} , $\mathbf{u}_0 \leq \mathbf{u} \leq \mathbf{u}_N$ [u_0, u_1, \dots, u_N]

◆ jednotlivé části jsou často parametrizované pravidelně – uniformní spline: $\mathbf{t}_i = (\mathbf{u} - \mathbf{u}_i) / (\mathbf{u}_{i+1} - \mathbf{u}_i)$, $0 \leq \mathbf{t}_i \leq 1$

Polynomiální křivka

- ♦ maticové vyjádření:

$$P(t) = \mathbf{TC} = [t^n, t^{n-1}, \dots, t, 1] \cdot \begin{bmatrix} x_n & y_n & z_n \\ x_{n-1} & y_{n-1} & z_{n-1} \\ \dots & \dots & \dots \\ x_1 & y_1 & z_1 \\ x_0 & y_0 & z_0 \end{bmatrix}$$

- ♦ bázová matice \mathbf{M} a vektor geometrických podmínek \mathbf{G} :

$$\mathbf{C} = \mathbf{MG} = [m_{ij}]_{i=n, j=1}^{0, k} \cdot \begin{bmatrix} G_1 \\ \dots \\ G_k \end{bmatrix} \quad P(t) = \mathbf{TMG}$$

Maticové vyjádření křivky

◆ $\mathbf{P}(t) = \mathbf{T} \mathbf{C} = \mathbf{T} \mathbf{M} \mathbf{G}$

- ◆ oddělení parametru (\mathbf{T}) od polynomiální báze (\mathbf{M}) a geometrie řídicích prvků (\mathbf{G})
- ◆ derivace (tečna, křivost) lze dělat jen s \mathbf{T}
- ◆ řídicí polynom \mathbf{TM} krát geometrie \mathbf{G}

◆ **kubika:** $n = 3, k = 4$

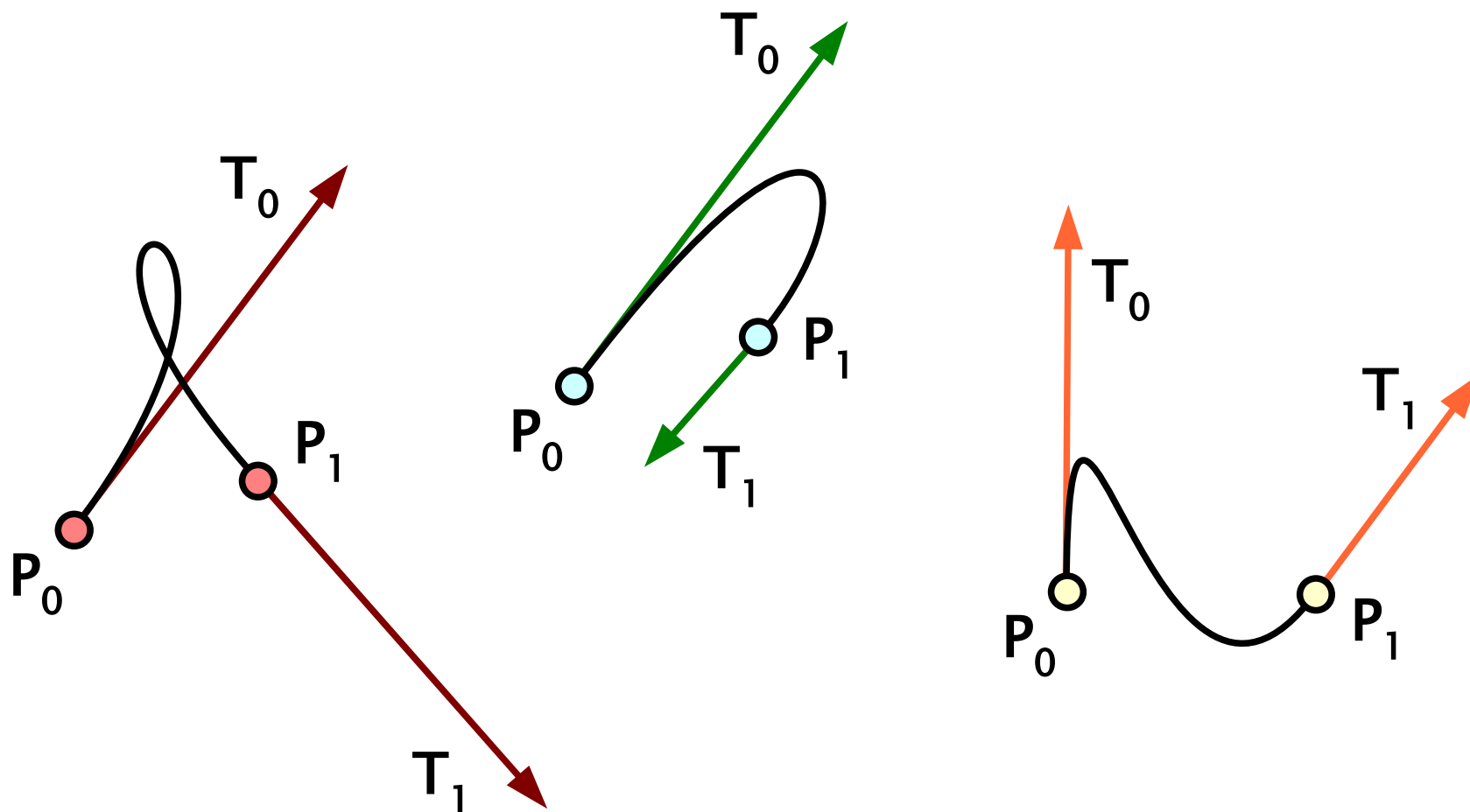
$$Q(t) = [t^3, t^2, t, 1] \cdot \begin{bmatrix} m_{11} & m_{12} & m_{13} & m_{14} \\ m_{21} & m_{22} & m_{23} & m_{24} \\ m_{31} & m_{32} & m_{33} & m_{34} \\ m_{41} & m_{42} & m_{43} & m_{44} \end{bmatrix} \cdot \begin{bmatrix} G_1 \\ G_2 \\ G_3 \\ G_4 \end{bmatrix}$$

Hermitovská kubika

- ◆ **Fergusonova křivka** (kubika)
- ◆ geometrie: **koncové body** a **tečné vektory** v nich
 - ◆ začátek křivky (\mathbf{P}_0), konec křivky (\mathbf{P}_1)
 - ◆ tečna na začátku (\mathbf{T}_0) a na konci (\mathbf{T}_1)

$$F(t) = [t^3, t^2, t, 1] \cdot \begin{bmatrix} 2 & -2 & 1 & 1 \\ -3 & 3 & -2 & -1 \\ 0 & 0 & 1 & 0 \\ 1 & 0 & 0 & 0 \end{bmatrix} \cdot \begin{bmatrix} P_0 \\ P_1 \\ T_0 \\ T_1 \end{bmatrix}$$

Hermitovská kubika



Další křivky

- ◆ **interpolační kubiky** odvozené od Hermitovy:
 - ◆ obecná: **Kochanek-Bartels** (KB-spline, TCB kubika)
 - ◆ speciální: **cardinal** spline, **Catmull-Rom** spline
 - ◆ **Akimova** interpolace (není C^2)
 - ◆ **D-spline** kubika
- ◆ další křivky:
 - ◆ **Bèzierovy** křivky
 - ◆ **B-spline** křivka, **Coonsův** spline (aproximace)
 - ◆ **přirozený** spline (interpolace)

Kochanek–Bartels kubika (KB–spline)

- ♦ odvozená od **Hermitovy** kubiky (3DS Max, Lightwave)
- ♦ výpočet tečných vektorů z řídících bodů
- ♦ tři další parametry (implicitně nulové):
 - **napětí, tension t**: ostrost křivky v řídícím bodě (absolutní velikost tečny)
 - **spojitost, continuity c**: spojitost v řídícím bodě
 - **sklon, bias b**: směr tečny v řídícím bodě

Levá a pravá tečna (\mathbf{T}_0 a \mathbf{T}_1 v lokálním smyslu):

$$L_i = \frac{(1-t)(1-c)(1+b)}{2} \cdot (P_i - P_{i-1}) + \frac{(1-t)(1+c)(1-b)}{2} \cdot (P_{i+1} - P_i)$$

$$R_i = \frac{(1-t)(1+c)(1+b)}{2} \cdot (P_i - P_{i-1}) + \frac{(1-t)(1-c)(1-b)}{2} \cdot (P_{i+1} - P_i)$$

Cardinal spline, Catmull–Rom spline

Speciální případy KB-spline:

◆ cardinal spline

- ◆ parametr a (ve skutečnosti souvisí s “ t ”, $c = b = \mathbf{o}$)

$$T_i = a \cdot (P_{i+1} - P_{i-1}) \quad 0 \leq a \leq 1$$

◆ Catmull-Rom spline

- ◆ $a = t = 1/2$

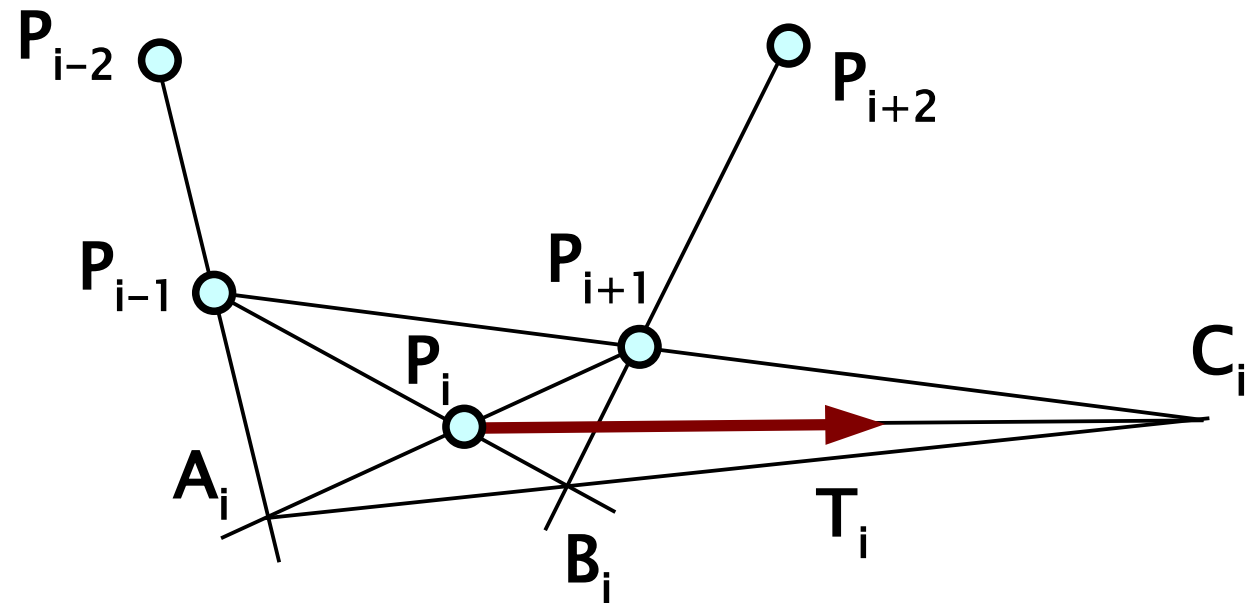
$$T_i = \frac{1}{2} \cdot (P_{i+1} - P_{i-1})$$

$$MG = \frac{1}{2} \begin{bmatrix} -1 & 3 & -3 & 1 \\ 2 & -5 & 4 & -1 \\ -1 & 0 & 1 & 0 \\ 0 & 2 & 0 & 0 \end{bmatrix} \cdot \begin{bmatrix} P_{i-1} \\ P_i \\ P_{i+1} \\ P_{i+2} \end{bmatrix}$$

Akimova interpolace

Další alternativa výpočtu tečných vektorů pro Hermitovu kubiku:

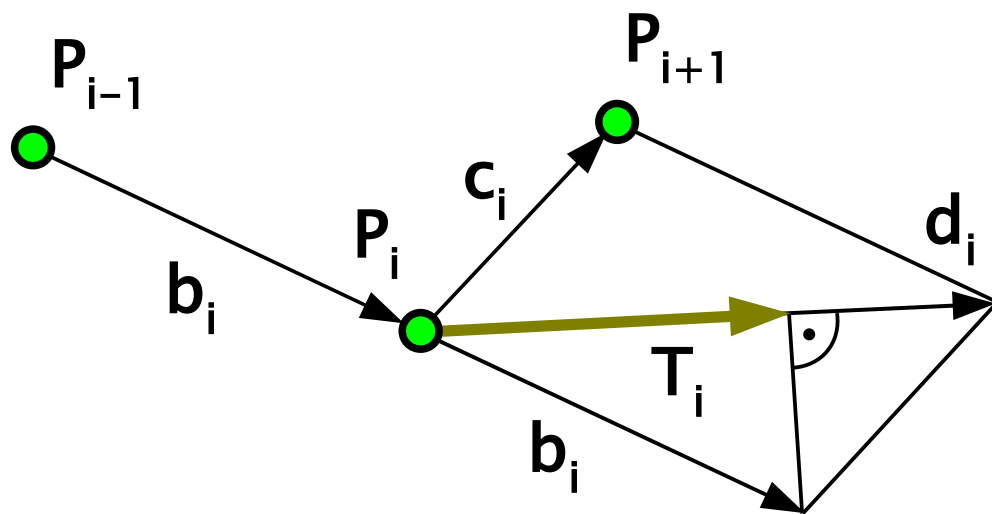
♦ není C^2 !



$$|T_i| = |P_{i+1} - P_{i-1}|$$

D-spline kubika

- další varianta Hermitovy kubiky
 - ◆ tečný vektor se spočítá tzv. **D-interpolací**



$$G = \begin{bmatrix} P_i \\ P_{i+1} \\ T_i \\ T_{i+1} \end{bmatrix}$$

Bèzierovy křivky

♦ polynomiální křivky stupně N

♦ $N+1$ řídících bodů

- krajní řídící body definují přímo konce křivky
- krajní dvojice definují tečné vektory křivky na koncích

♦ parametrické vyjádření používá Bernsteinovy polynomy

♦ lze je snadno napojovat G^1 nebo C^1 spojitostí

♦ složitějším způsobem z nich lze postavit spline

Bernsteinovy polynomy:

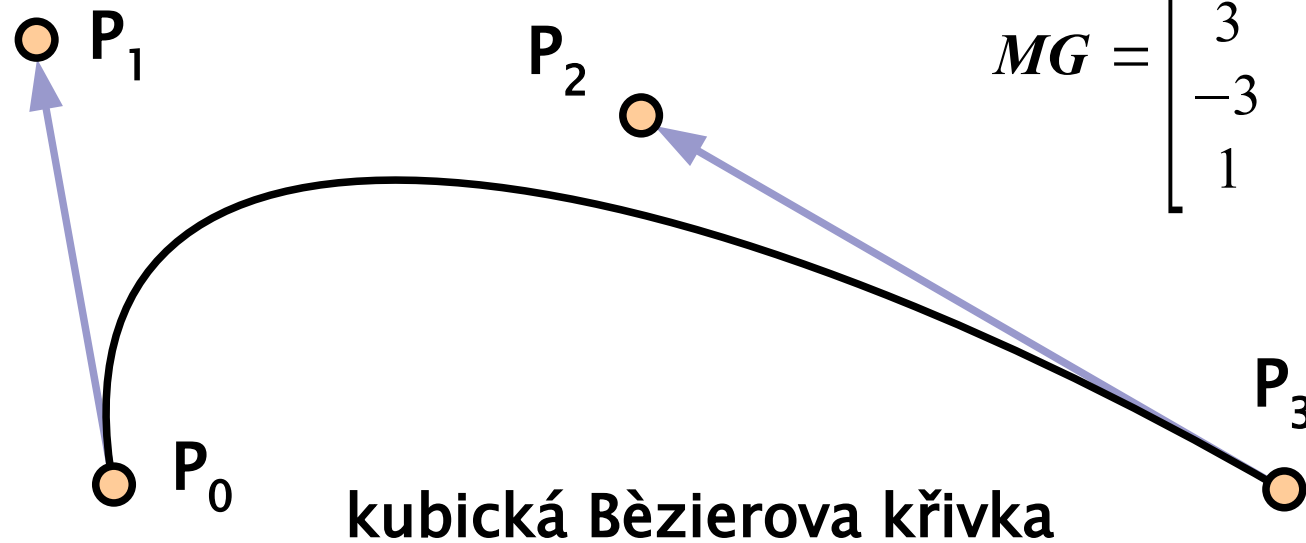
$$B_i^n(t) = \binom{n}{i} t^i (1-t)^{n-i} \quad 0 \leq i \leq n, \quad 0 \leq t \leq 1$$

Bèzierovy křivky

Cauchyova podmínka

⇒ konvexní kombinace řídicích bodů

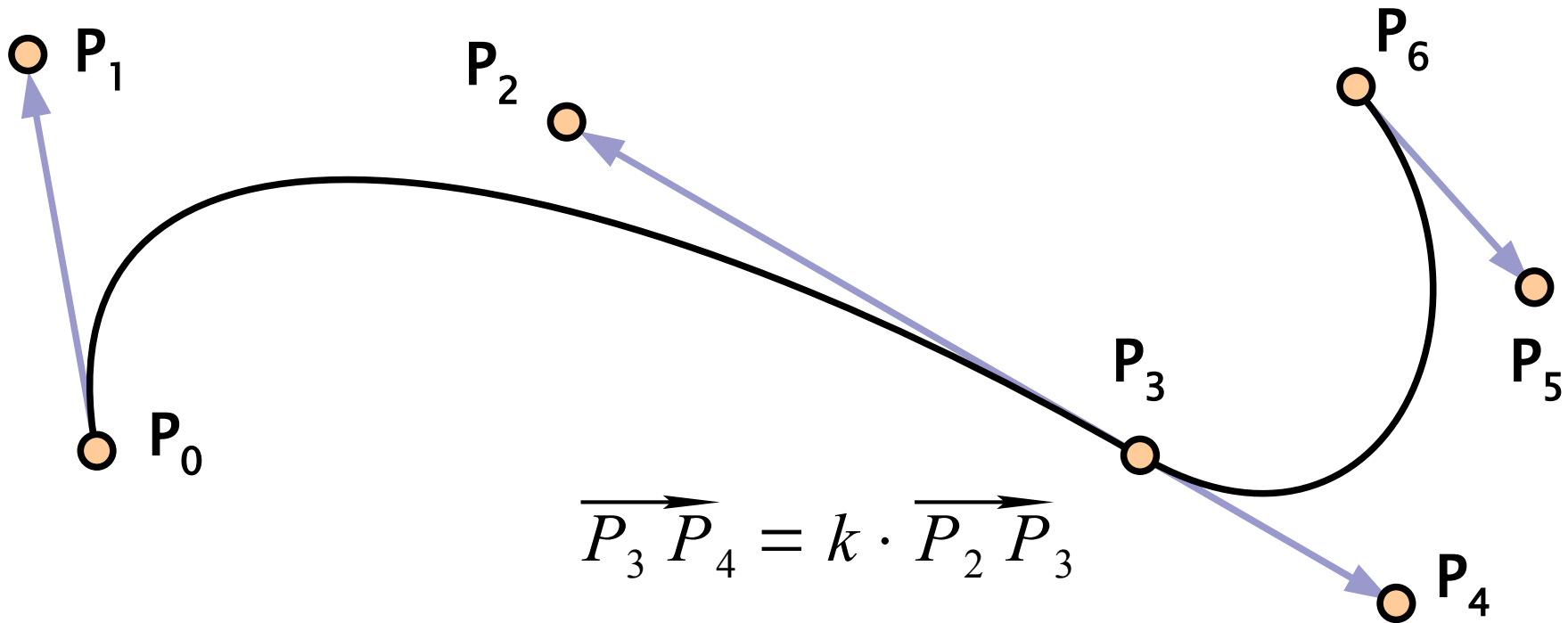
$$\sum_{i=0}^n B_i^n(t) = 1 \quad \text{pro } 0 \leq t \leq 1$$



$$MG = \begin{bmatrix} -1 & 3 & -3 & 1 \\ 3 & -6 & 3 & 0 \\ -3 & 3 & 0 & 0 \\ 1 & 0 & 0 & 0 \end{bmatrix} \cdot \begin{bmatrix} P_0 \\ P_1 \\ P_2 \\ P_3 \end{bmatrix}$$

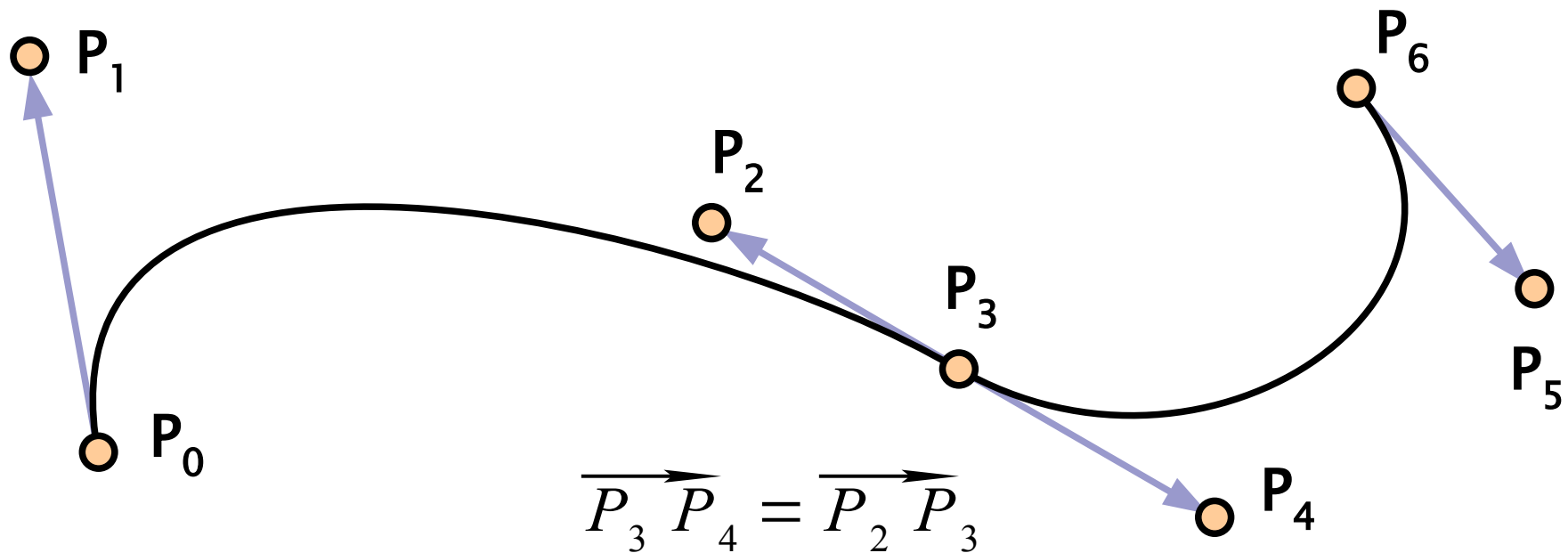
Napojování Bèzierových křivek

G^1 napojení (kolineární tečny)



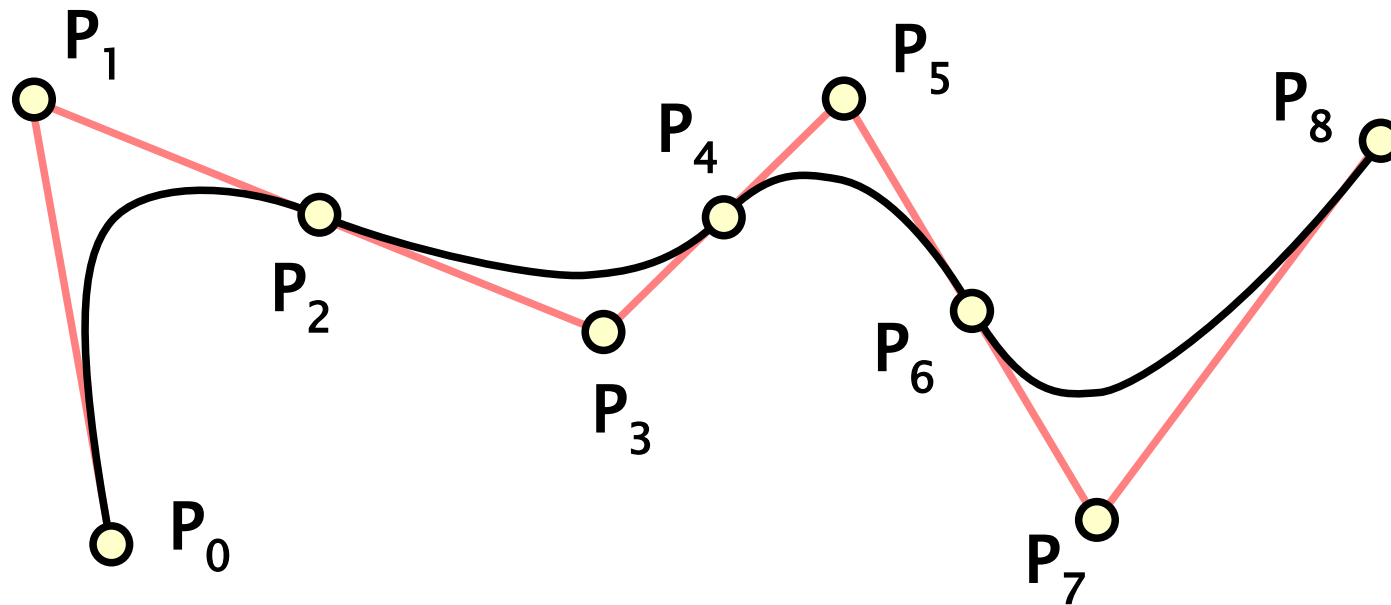
Napojování Bèzierových křivek II

C^1 napojení (shodné tečny)



Napojování Bèzierových křivek III

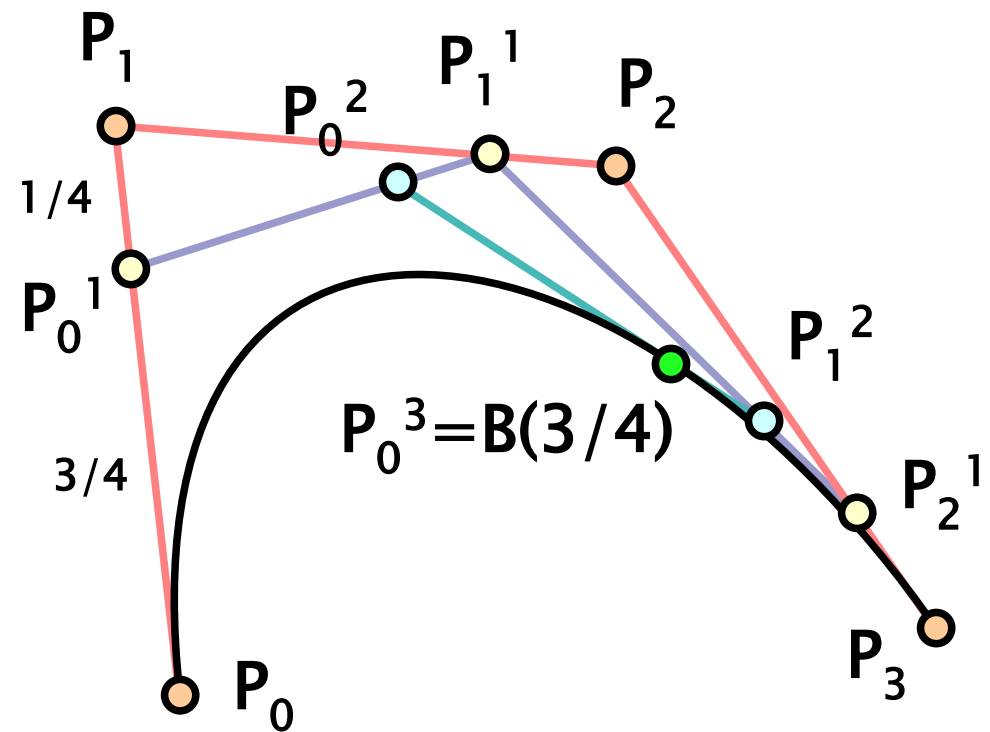
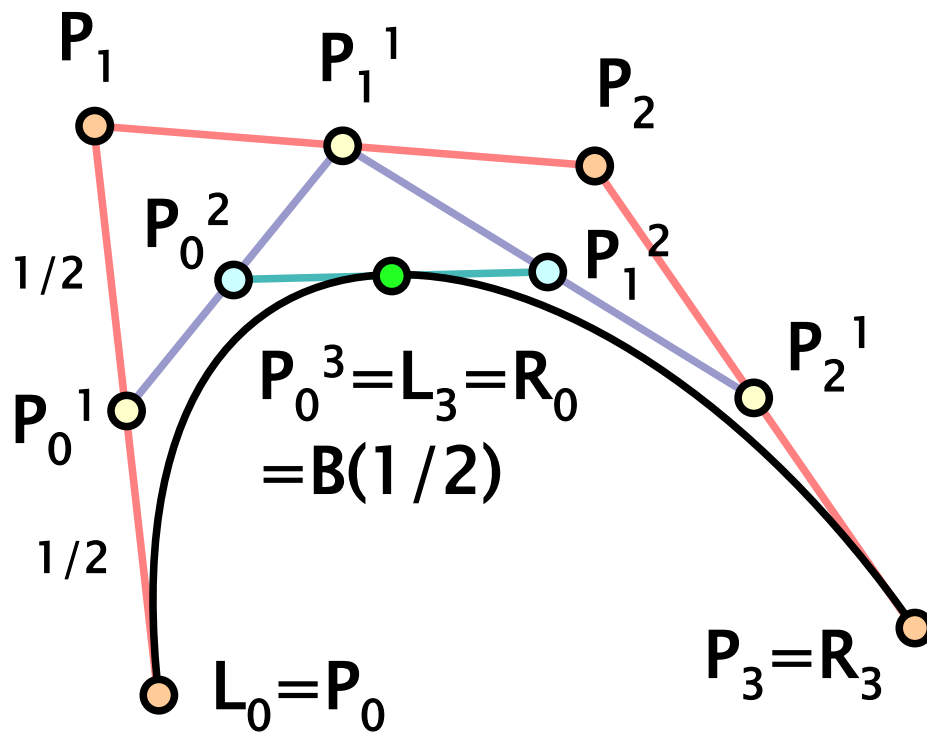
Kvadratický spline z Bèzierových segmentů



$$\overrightarrow{P_1 P_2} = \overrightarrow{P_2 P_3} \quad \overrightarrow{P_3 P_4} = \overrightarrow{P_4 P_5} \quad \dots \quad \overrightarrow{P_{2k-1} P_{2k}} = \overrightarrow{P_{2k} P_{2k+1}}$$

De Casteljau (de Boor) algoritmus

- ◆ geometrická konstrukce Bèzierovy křivky
 - ◆ “subdivision” schéma i výpočet jednoho daného bodu



Kubický spline

- ▶ funkce sestavená z **kubických polynomů**
 - ♦ sousední polynomy jsou napojeny C^2
 - ♦ vyjádření pružného “spline-pravítka” (viz konstrukce)
- ▶ **interpolační kubický spline**
 - ♦ v uzlech $\mathbf{x}_0, \mathbf{x}_1, \dots, \mathbf{x}_n$ jsou předepsány funkční hodnoty $\mathbf{y}_0, \mathbf{y}_1, \dots, \mathbf{y}_n$

$$S(x) = S_k(x) = s_{k,0} + s_{k,1}(x - x_k) + s_{k,2}(x - x_k)^2 + s_{k,3}(x - x_k)^3$$
$$x \in [x_k, x_{k+1}], \quad k = 0, 1, \dots, n-1$$

- ▶ podm. **A**: $S(x_k) = y_k \quad k = 0, 1, \dots, n$

Interpolační kubický spline

- ◆ podm. **B** (C^0 spojitost):

$$S_k(x_{k+1}) = S_{k+1}(x_{k+1}) \quad k=0, 1, \dots, n-2$$

- ◆ podm. **C** (C^1 spojitost):

$$S'_k(x_{k+1}) = S'_{k+1}(x_{k+1}) \quad k=0, 1, \dots, n-2$$

- ◆ podm. **D** (C^2 spojitost):

$$S''_k(x_{k+1}) = S''_{k+1}(x_{k+1}) \quad k=0, 1, \dots, n-2$$

- ◆ pro **přirozený kubický spline** navíc podm. **E**:

$$S''(x_0) = S''(x_n) = 0$$

Přirozený kubický spline

♦ interpolační spline

- ♦ jednoznačně určen danými podmínkami (řeší se soustava lineárních rovnic pro $\mathbf{s}_{k,l}$)
- ♦ nemá lokální vlastnost (při změně jednoho uzlu se změní celý spline)

♦ otevřený spline:

- ♦ podmínky **A**, **B**, **C**, **D** nestačí, zbývají 2 stupně volnosti
- ♦ přidává se podmínka **E** (druhé derivace na okraji)

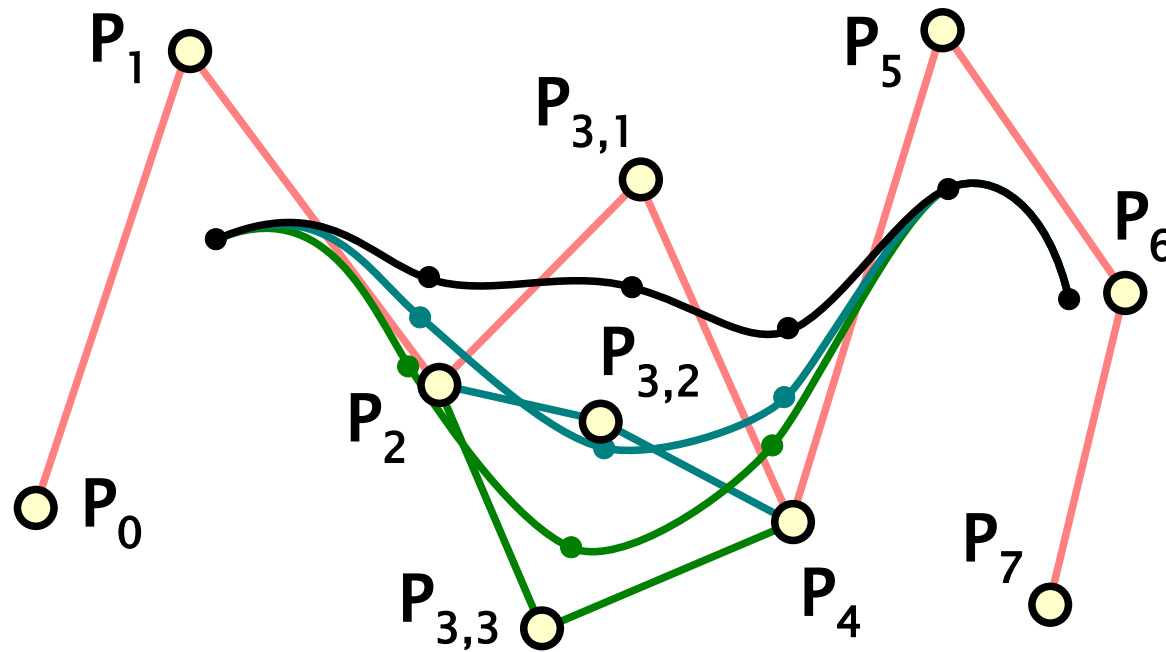
♦ uzavřený (cyklický) spline: $\mathbf{x}_0 = \mathbf{x}_n$

- ♦ **C** a **D** nám pro \mathbf{x}_0 dají chybějící dvě podmínky

B-spline (basis spline)

- ◆ “**free-form**” křivka
 - ◆ tvar je definován posloupností **řídících bodů**
 - ◆ parametrické vyjádření pomocí **bazických funkcí** (závislost bodu křivky na řídících bodech)
 - ◆ **má lokální vlastnost** (změna řídícího bodu změní křivku jen lokálně)
- ◆ **uniformní kubický B-spline** (Coonsova křivka)
 - ◆ jednotná sada bazických funkcí (kubických polynomů)
- ◆ **neuniformní B-spline**
 - ◆ složitější definice pomocí posloupnosti uzlů $0 \leq t_i \leq 1$

Coonsův B-spline

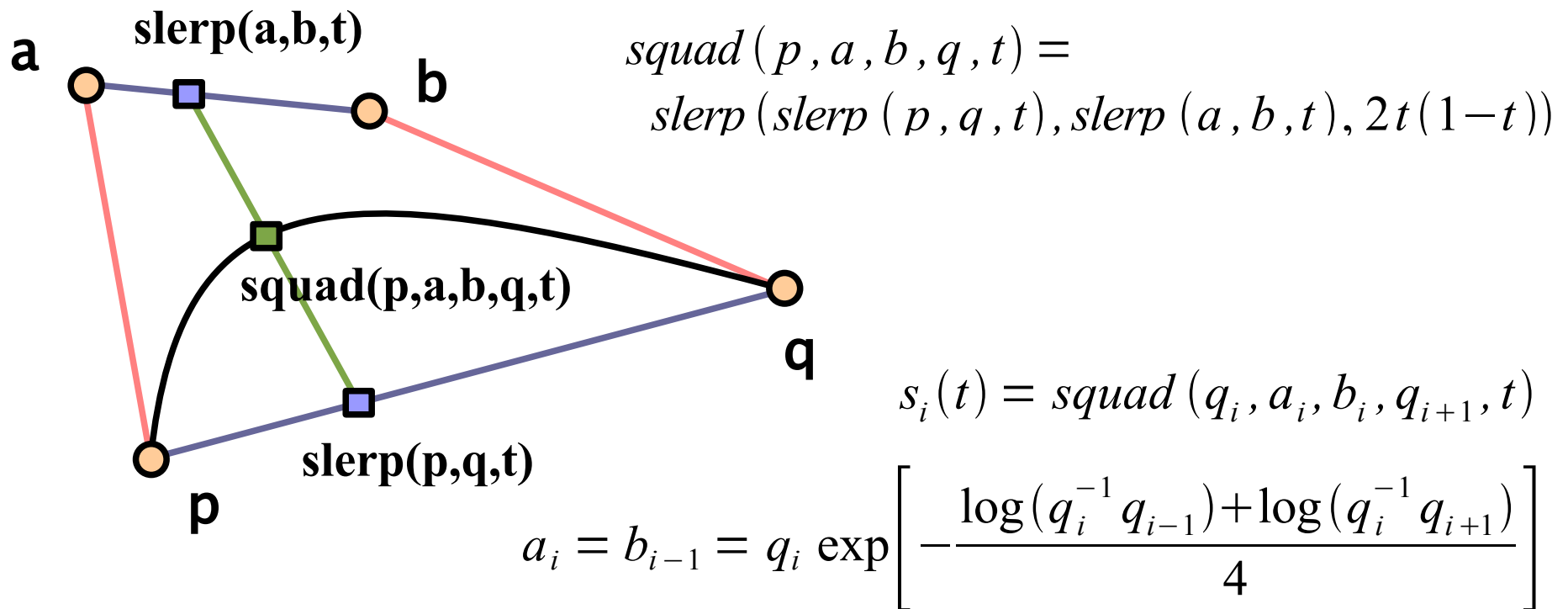


- ♦ automatická spojitost C^2
- ♦ sdílení 3 řídicích bodů
- ♦ změna řídicího bodu ovlivní sousední 4 segmenty

$$MG = \frac{1}{6} \begin{bmatrix} -1 & 3 & -3 & 1 \\ 3 & -6 & 3 & 0 \\ -3 & 0 & 3 & 0 \\ 1 & 4 & 1 & 0 \end{bmatrix} \cdot \begin{bmatrix} P_{i-1} \\ P_i \\ P_{i+1} \\ P_{i+2} \end{bmatrix}$$

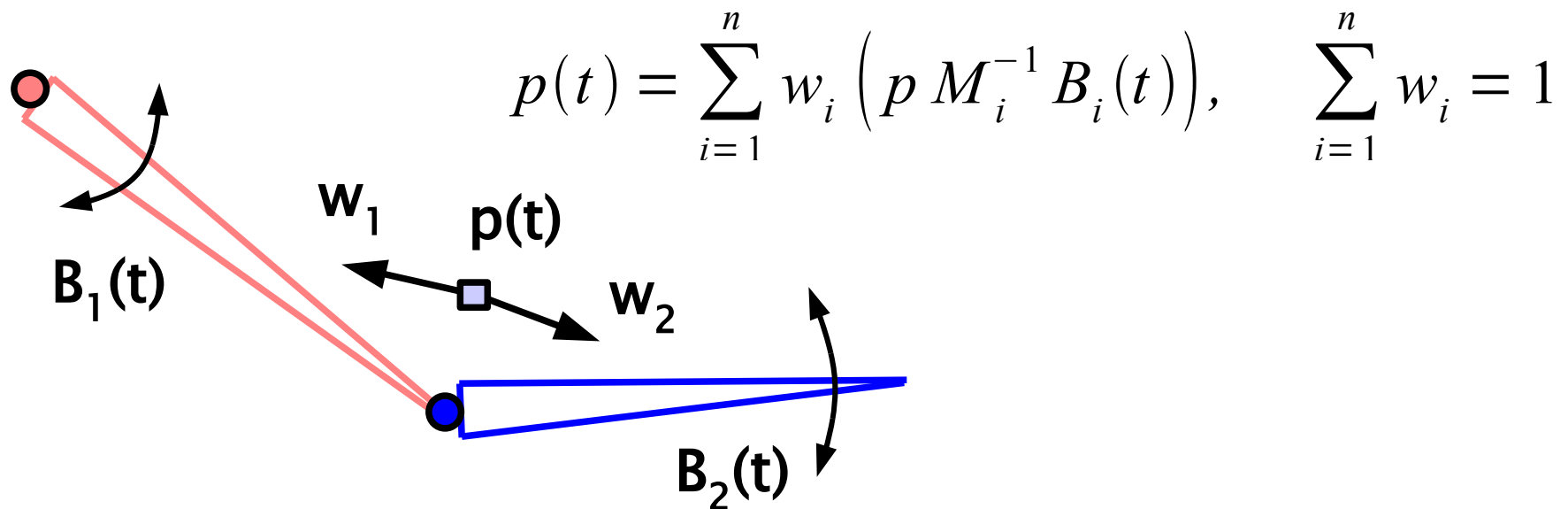
Spline interpolace kvaternionů

- postupná interpolace posloupností orient. $\mathbf{q}_0, \mathbf{q}_1, \dots, \mathbf{q}_n$
- $\text{slerp}(\mathbf{q}_i, \mathbf{q}_{i+1}, t)$ dává málo hladkou křivku (jen C^0)



Vertex blending = skinning

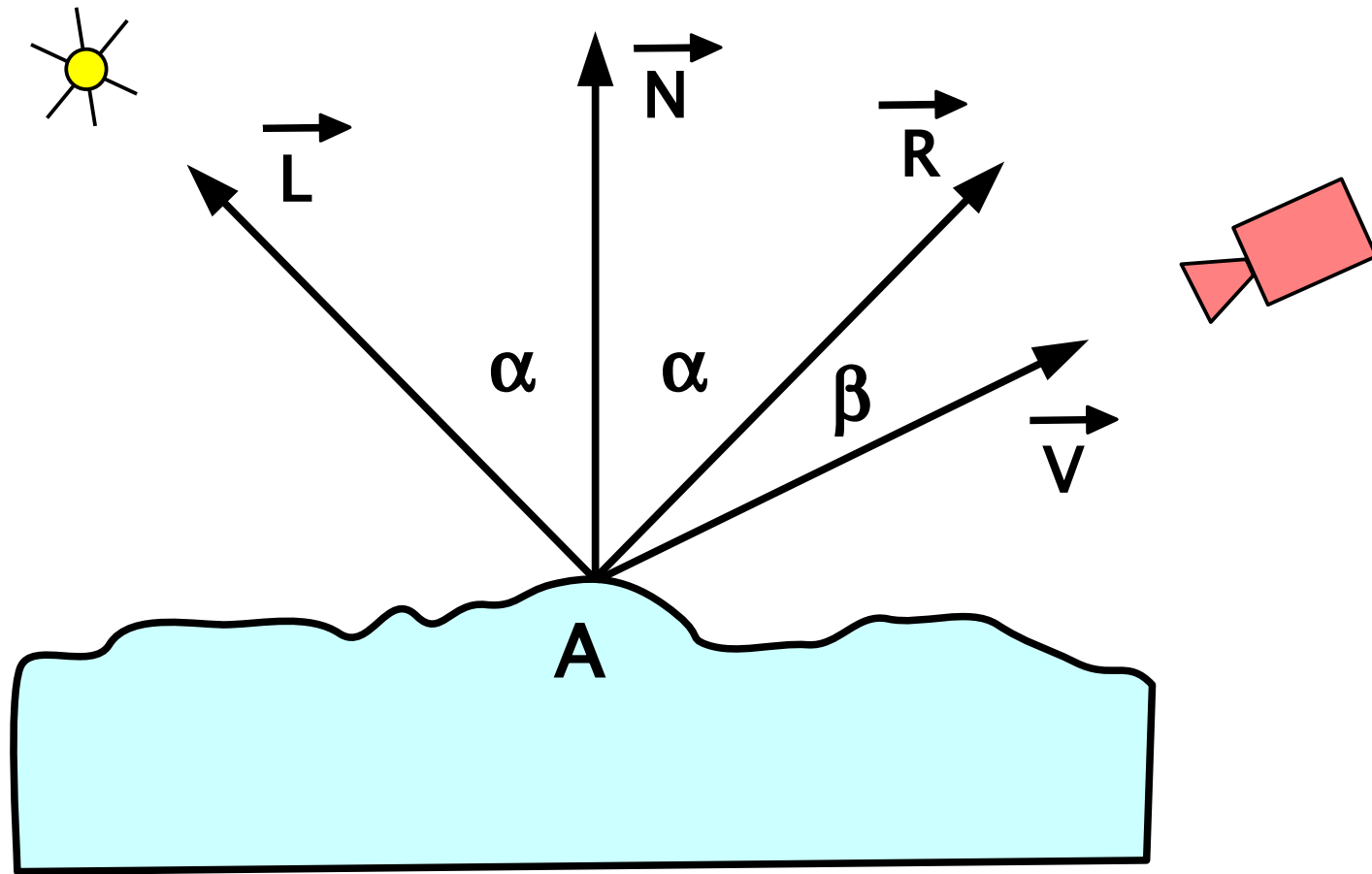
- **vrchol** každého trojúhelníka \mathbf{p} je navázán na několik okolních “**kostí**” (souřadných soustav)
 - ♦ klidová poloha: $t = 0$
 - ♦ kosti se **animují** maticemi $\mathbf{B}_i(\mathbf{t})$ (object sp. \rightarrow world)
 - ♦ počáteční transformace $\mathbf{M}_i = \mathbf{B}_i(\mathbf{0})$



Stínování

- pozorovaný **odstín** na povrchu plošky je závislý na její orientaci v prostoru + na poloze světelných zdrojů
- existuje mnoho **osvětlovacích modelů**
 - ❖ lokální výpočet odrazu světla na povrchu tělesa
 - ❖ ideálem je přesné napodobení přírody
- **Phongův světelný model**
 - ❖ jednoduchý výpočet
 - ❖ kvalitativně přibližně souhlasí s fyzikální realitou
 - ❖ kvůli lesklé složce je nejlepší počítat ho v každém pixelu s interpolací normály

Situace



Phongův model osvětlení

- ♦ světlo se skládá ze tří složek:
 - ♦ **zbytkové světlo** („*ambient*”) – náhrada za nepočítané sekundární odrazy
 - ♦ **difusní odraz** („*diffuse*”) – ideálně matné těleso
 - ♦ **lesklý odraz** („*specular*”) – neostrý odraz, odlesk

$$L_a = C \cdot k_a$$

$$L_d = (C \cdot C_L) \cdot k_d \cdot \cos \alpha$$

$$L_s = C_L \cdot k_s \cdot \cos^h \beta$$

Parametry Phongova modelu

- ♦ optické vlastnosti povrchu tělesa („**materiál**“):
 - ♦ vlastní barva tělesa „**C**“ (při osvětlení bílým světlem)
 - ♦ koeficienty „**k_a**“, „**k_d**“ a „**k_s**“ (charakter povrchu: matný, lesklý, ..)
 - ♦ exponent odlesku „**h**“ (čím větší, tím je odlesk ostřejší)
- ♦ vlastnosti **zdroje světla**:
 - ♦ barva a intenzita „**C_L**“ (třísložkový vektor, s barvou zdroje se násobí po složkách)
- ♦ **více** zdrojů světla:

$$L = L_a + \sum L_d + L_s$$

Spojité stínování

Tři techniky použití osvětlovacího modelu:

- ◆ **konstantní stínování** („*flat shading*“)

- ◆ celá ploška se vybarví stejným odstínem

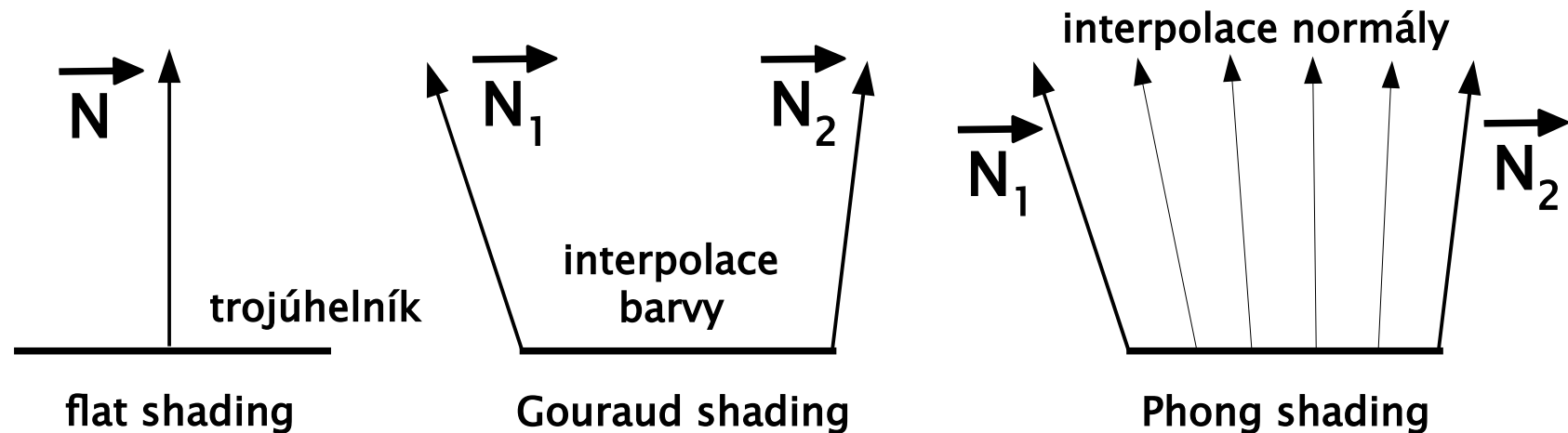
- ◆ **Gouraudova interpolace barvy**

- ◆ osvětlení se počítá ve vrcholech, uvnitř plošek se barva lineárně interpoluje (umějí běžné HW rasterizéry)

- ◆ **Phongova interpolace normály**

- ◆ pro každý pixel plošky se normálový vektor lineárně interpoluje a spočítá světelný model
- ◆ nejdokonalejší metoda, vyžaduje spolupráci HW (shader)

Spojité stínování



- **konstantní stínování** je adekvátní u hranatých těles
- **interpolace barvy** potlačuje „hrnatý“ vzhled aproximovaných těles
 - ❖ ostré odlesky se však nekreslí korektně
- **interpolace normály** je vhodná i pro vysoký lesk

Mlha

- lokální osvětlovací modely počítají pouze interakci světla s **povrchem předmětů**
- vliv **prostředí** (atmosféry) na šíření paprsku
 - ♦ nejjednodušší a nejčastější je výpočet **mlhy** (umí i HW)
 - ♦ přesný výpočet pohlcení/rozptylu paprsku v kouři nebo aerosolu je mnohem složitější
- **barva mlhy „ C_f ”** (obvykle bílá) se mísí s barvou tělesa
 - ♦ **lineární mlha** (koeficient se mění lineárně se vzdáleností)
 - ♦ **exponenciální mlha** (exponenciální závislost koeficientu na vzdálenosti předmětu od pozorovatele)

Mlha

♦ míchání mlhy s barvou tělesa

- ♦ „ C_f ” je barva mlhy, „ C_s ” barva tělesa
- ♦ „ f ” je koeficient

$$C = f \cdot C_s + (1 - f) \cdot C_f$$

♦ lineární mlha

- ♦ „ Z_{end} ” a „ Z_{start} ” jsou vzdálenosti začátku a konce mlhy
- ♦ „ z ” je vzdálenost fragmentu od pozorovatele

♦ exponenciální mlha

- ♦ „ D ” je hustota mlhy (čím je větší, tím je mlha hustší)

$$f = \frac{Z_{end} - z}{Z_{end} - Z_{start}}$$

$$f = e^{-D \cdot z}$$

Literatura

- ◆ Tomas Akenine-Möller, Eric Haines: ***Real-time rendering, 2nd edition***, A K Peters, 2002, ISBN: 1568811829
- ◆ Randima Fernando, Mark J. Kilgard: ***The Cg Tutorial***, Addison-Wesley, 2003, ISBN: 0321194969
- ◆ J. Žára, B. Beneš, J. Sochor, P. Felkel: ***Moderní počítačová grafika***, 2. vydání, Computer Press, 2005, ISBN: 8025104540
- ◆ **<http://www.geometrictools.com/>** (Dave Eberly)